

# رفتار برش منگنه‌بی دال‌های تخت تقویت شده با بتون ECC

بهداد هاشمی سالانقوچ (دانشجوی کارشناسی ارشد)

محمد رضا اصفهانی<sup>\*</sup> (استاد)

دانشکده‌ی مهندسی عمران، دانشگاه فردوسی مشهد

مهمشی عمان شرف، زمستان (۱۳۹۴)، ۱۴۰-۱۳۹، شماره ۲/۳، ص. ۳-۶۲، دوری ۲

در این پژوهش، ساخت و تقویت دال‌های تخت با استفاده از بتون ECC و تأثیر آن بر روی برش منگنه‌بی دال‌ها بررسی می‌شود. نه عدد دال بتون مسلح به ابعاد  $1000 \times 1000 \times 100$  میلی‌متر با ضخامت‌های متفاوت و درصد فولاد یکسان ساخته و آزمایش شدند. سایر پارامترهای متغیر در نمونه‌ها شامل وجود برش‌گیر در اتصال لایه‌ی تقویتی به دال، نوع بتون و نوع آب مصرفی هستند. بارگذاری بر روی سکوی بتونی دال با استفاده از یک جک فشاری انجام شده است و تکیه‌گاه‌ها به صورت ساده‌اند. نتیجه‌های آزمایش‌ها به صورت نمودارهای بار-تعییرمکان هستند که نشان می‌دهند استفاده از بتون ECC در ساخت و تقویت دال‌ها موجب افزایش سختی خمشی و برشی و مقاومت برش منگنه‌بی دال‌ها می‌شود. از طرفی استفاده از آب مغناطیسی باعث بهبود روانی بتون ECC شده است.

behdad4100@yahoo.com  
esfahani@um.ac.ir

واژگان کلیدی: برش منگنه‌بی، دال بتونی، تقویت، آب مغناطیسی، ECC.

## ۱. مقدمه

بعد از اتمام ساخت دال به عنوان تقویت برشی استفاده شود. با توجه به این‌که بتون ECC قادر درشت‌دانه است و نسبت به بتون معمولی نیاز به ضخامت کمتری دارد، می‌توان این قسمت اضافی را شامل کفسازی در نظر گرفت (شکل ۱).<sup>[۲]</sup>

تیان و همکاران<sup>[۱]</sup> عوامل مؤثر بر مقاومت برش سطحی بین بتون معمولی و بتون ECC ساخته شده از الیاف پلی‌ویلن‌الکل (PVA) را مطالعه کردند. نتایج آن‌ها نشان داد که میزان ناهمواری سطح بتون معمولی تأثیر چشم‌گیری بر مقاومت برش سطحی دارد. جتو و همکاران<sup>[۵]</sup> برروی تأثیر دما بر چسبندگی بتون معمولی و بتون ECC تحقیق کردند. آن‌ها ۶۶ نمونه‌ی استوانه‌بی با برش ۴۵ درجه و ۶۶ نمونه کشش مستقیم ساختند. نتایج آن‌ها نشان داد که تا دمای ۲۰۰ درجه‌ی سانتی‌گراد چسبندگی افزایش اما بعد از آن کاهش می‌یابد. حسین و همکاران<sup>[۶]</sup> مقاومت برشی تیرهای ساخته از بتون خودمتراکم، بتون ECC و تیرهای ساخته شده به صورت ترکیب لایه‌ای از این نوع بتون را بررسی کردند. نتایج آن‌ها نشان داد که تیرهای ساخته شده از ترکیب بتون خودمتراکم و بتون ECC بدون میل‌گرد برشی بیشترین شکل‌پذیری و جذب انرژی را دارند. همچنین، تیرهای ساخته شده از ترکیب این نوع بتون و استفاده از میل‌گرد برشی بیشترین مقاومت برشی را نشان داد. جی و همکاران<sup>[۷]</sup> فرمول‌ها و روش‌های عددی را برای محاسبه‌ی مقاومت خمشی، انحنای تیر و جذب انرژی ارائه کردند. آن‌ها برروی یازده عدد تیر مسلح، که ترکیب بتون معمولی و بتون ECC بود که در قسمت کششی تیر قرار داشت، آزمایش کردند. براساس نتایج آن‌ها، با افزایش درصد میل‌گرد یا مقاومت میل‌گرد، شکل‌پذیری و جذب انرژی در تیر کاهش می‌یابد؛ همچنین ارتفاع لایه‌ی بتون ECC بر مقاومت خمشی تأثیر مثبت داشته اما

مصالح مرکب سیمانی مهندسی شده ECC<sup>۱</sup> بتون انعطاف‌پذیری است که نسبت به بتون معمولی دارای شکل‌پذیری بالاست. در بافت این بتون، درشت‌دانه حذف شده و برای جلوگیری از کاهش مقاومت بتون از موادی مانند میکروسیلیس، سرباره‌ی کوره‌ی رغال سنگ، ماسه‌ی بادی و الیاف مصنوعی استفاده شده است. در جدول ۱ مشخصات فیزیکی بتون ECC آورده شده است.<sup>[۱]</sup> در گذشته از بتون ECC برای ساخت و تقویت تیرها و اتصالات تیر به ستون استفاده شده و تحقیقات بسیاری در این زمینه انجام شده است.<sup>[۲]</sup> با توجه به نتیجه بخش بودن استفاده از ECC در ساخت و تقویت تیرها، می‌توان از این بتون در ساخت و تقویت دال‌ها نیز استفاده کرد.

از سوی دیگر مطالعات محدودی در زمینه‌ی تقویت دال‌های تخت بتون مسلح با بتون ECC انجام شده است.<sup>[۳]</sup> استفاده از بتون ECC در ساخت و تقویت دال منجر به افزایش ظرفیت خمشی در تاچیه‌ی کشش و همچنین افزایش شکل‌پذیری تا نقطه‌ی شکست می‌شود. بنابراین ظرفیت برش منگنه‌بی دال نیز افزایش می‌یابد. در دال‌های تخت به منظور افزایش ظرفیت برش منگنه‌بی از پهنه‌ی سرستون استفاده می‌شود. استفاده از پهنه‌ی به صورت زائده‌بی در سقف ایجاد می‌شود (شکل ۱). هدف از این پژوهش امکان حذف این زائد و افزایش ظرفیت برش منگنه‌بی از طریق استفاده از بتون ECC در قسمت بالای دال است (شکل ۲). اضافه کردن این قسمت می‌تواند هم در ساخت دال و هم

\* نویسنده مسئول

تاریخ: دریافت ۱۰/۵/۱۳۹۸، اصلاحیه ۳۰، ۱۳۹۸/۱۱/۳۰، پذیرش ۱۳۹۸/۱۲/۲۱

DOI:10.24200/J30.2020.55003.2692

جدول ۱. مشخصات فیزیکی اصلی بتن ECC.

قطر بزرگترین (mm)	وزن مخصوص (gr/cm³)	میزان صرفی (kg)	مواد مصرفی در تهیی ECC	بتن
۵-۲۰	۳,۱۶	۴۹۶	سیمان (تیپ دو)	
۰,۰۰۱	۲,۵	۲۶۴	میکروسیلیس	
۰,۰۰۵	۲,۷	۵۹۶	پوردرستگ (کربنات کالسیم)	
۰,۰۰۶	۴	۱۳۲	سرباره‌ی کوره آهن (غبار)	
-	۰,۹۳	۱۵	الیاف پروپیلن (۱۲ mm)	
-	۱	۴۵۲	آب	
-	۱/۲	۱۸	فوق روان‌کننده (پلی‌کربوکسیلات)	
-	۱/۹۶۳	۱۹۶۳	وزن کل بتن	

شامل نسبت درشت‌دانه، نسبت آب به سیمان، مقدار سیمان و میزان مغناطیسی شدن آب بود. بر اساس نتایج آنها آب مغناطیسی باعث افزایش ۴۰ تا ۹۰ درصدی روانی بتن می‌شود. آنها نشان دادند که شدت مغناطیسی شدن آب باعث افزایش ۱۶ درصدی روانی بتن می‌شود. آب مغناطیسی موجب افزایش ۱۰ الی ۱۹ درصدی مقاومت فشاری بتن می‌شود. با توجه به تحقیقات صورت گرفته در گذشته بر روی بتن ECC و شکل‌پذیری بالای این نوع بتن و مقاومت مناسب، در این پژوهش سعی شده است تا با استفاده از این بتن در ساخت و تقویت دال‌های تخت، ظرفیت برش منگنه‌ی افزایش داده شود. بتن ECC به این دلیل که قادر درشت‌دانه است، در ضخامت کم، در قسمت بالای دال قابل استفاده است تا به جای استفاده از بتن معمولی به صورت پهنه‌ی سرستون که باعث ایجاد زائدی در سقف می‌شود، به صورت بخشی از کف سازی در نظر گرفته شود.

## ۲. کار آزمایشگاهی

### ۱.۲. مشخصات مصالح

#### ۱.۱.۲. بتن معمولی

برای یکسان بودن مقاومت بتن مورد استفاده در دال‌ها، بتن مصرفی از بیرون و به صورت یکجا تهیه شد. برای تعیین مقاومت فشاری بتن مورد استفاده ۳ عدد نمونه‌ی استوانه‌ی استاندارد  $30 \times 150$  میلی‌متر از بتن نمونه‌گیری شد. مشخصات و نسبت وزنی مصالح مورد استفاده در ۱ متر مکعب از بتن معمولی مصرفی در دال‌های ساخته شده در جدول ۲ آورده شده است. نمونه‌های فشاری استوانه‌ی استاندارد در شرایط عمل آوری یکسان با شرایط عمل آوری دال‌ها به مدت ۲۸ روز نگهداری شدند و سپس تحت آزمایش مقاومت فشاری قرار گرفتند که مقاومت آن ها به طور میانگین ۲۷ مگاپاسکال به دست آمد.

#### ۲.۱.۲. میل‌گرد های فولادی مصرفی

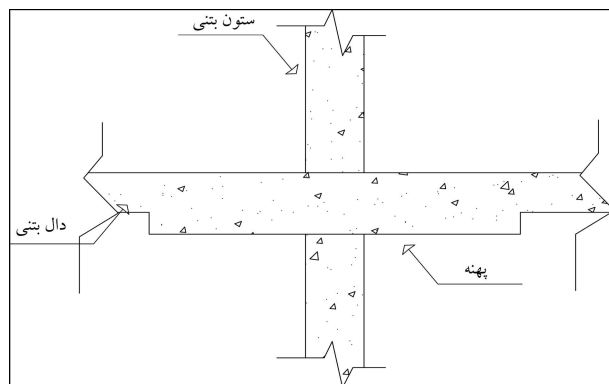
برای مسلح کردن بتن از میل‌گردهای فولادی نوع ۳ با شش تسلیم ۴۰۰ مگاپاسکال استفاده شد. میل‌گردهای فولادی از شبکه با ۷ عدد میل‌گرد در هر طرف به قطر ۱۲ استفاده شده است. درصد میل‌گرد در مقطع ۸۴۲٪ است.

#### ۳.۱.۲. بتن ECC

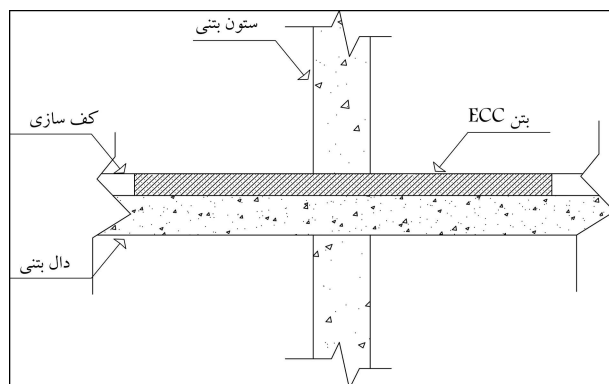
با توجه به این که برخی از مواد مانند سرباره‌ی کوره‌ی زغال‌سنگ در ایران به سختی یافت می‌شود، سرباره‌ی کوره‌ی آهن به عنوان جایگزین استفاده شده است. در

جدول ۲. طرح اختلاط بتن معمولی در ۱ متر مکعب بتن.

۲۰-۹۵	مقاومت فشاری (MPa)
۴-۱۲	مقاومت نهایی کششی (MPa)
۱-۸	کرنش نهایی کششی (%)
۱۸-۳۴	مدول کشسانی (GPa)
۱۰-۳۰	مقاومت خمشی (MPa)
۰,۹۵-۲,۳	وزن مخصوص (gr/cc)



شکل ۱. بررسی از دال با پهنه.

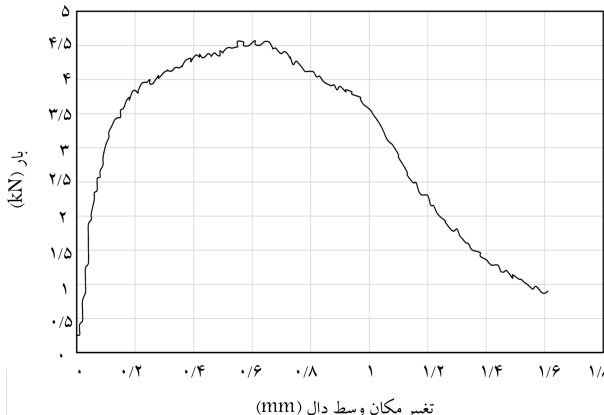


شکل ۲. بررسی از دال با لایه‌ی بتن ECC.

بر شکل‌پذیری و جذب انرژی تأثیر قابل توجهی نداشته است. چوی و همکاران<sup>[۷]</sup> بر روی تقویت و ترمیم دیوارهای بنایی با بتن ECC تحقیق کردند. نوع بارگذاری در این پژوهش به صورت رفت و برگشتی بوده است. در این تحقیق بتن ECC بر روی دیوارهای بنایی پاشیده شده است تا تأثیر این بتن بر روی مقاومت و تقویت شده شده با دیوار بررسی شود. آن‌ها بر روی نمونه‌های تقویت شده با بتن ECC و تقویت شده با ترکیب بتن ECC و شبکه‌ی سیمی تحقیق کردند. نتایج نشان داد که استفاده از این بتن به تهایی باعث افزایش ۱۸٪ برابری و به صورت ترکیب با شبکه‌ی سیمی باعث افزایش ۳ برابری ظرفیت باربری خمشی خواهد شد. همچنین این محققان نشان دادند که استفاده از بتن ECC باعث افزایش شکل‌پذیری و جذب انرژی می‌شود. افني و همکاران<sup>[۸]</sup> بر روی دال‌های یک طرفه بتنی تقویت شده با بتن ECC باعث مطالعه کردند. بررسی‌های آن‌ها نشان داد که تقویت دال‌ها با بتن ECC باعث افزایش ظرفیت باربری و شبکه‌ی افزایش شکل‌پذیری آن‌ها می‌شود. فریس و همکاران<sup>[۹]</sup> بر روی نوع طرح اختلاط شامل آب معمولی و مغناطیسی مطالعه کردند. پارامترهای متغیر



شکل ۴. دستگاه نرم‌ساز آب برای تولید آب مغناطیسی.



شکل ۵. نمودار بار - تغییرمکان نمونه خمثی بتن ECC ساخته شده با آب مغناطیسی.

ساختن بتن ECC با آب مغناطیسی برای دال‌ها، از بتن ساخته شده عدد نمونه استوانه‌یی استاندارد  $300 \times 150 \times 300$  و  $3 \times 100 \times 300$  میلی‌متر است) گرفته شد تا مقاومت فشاری و خمثی بتن ساخته شده با آب مغناطیسی ارزیابی شود. مقاومت فشاری بتن ECC ساخته شده از آب مغناطیسی به طور میانگین  $3^{\circ}$  به دست آمده است و نمودار بار - تغییرمکان نمونه‌یی

(بعضی در شکل ۵ نشان داده شده است. در آزمایش جریان روانی بتن ECC ساخته شده با آب مغناطیسی، قطر پخش‌شدگی بتن  $420$  میلی‌متر به دست آمد.

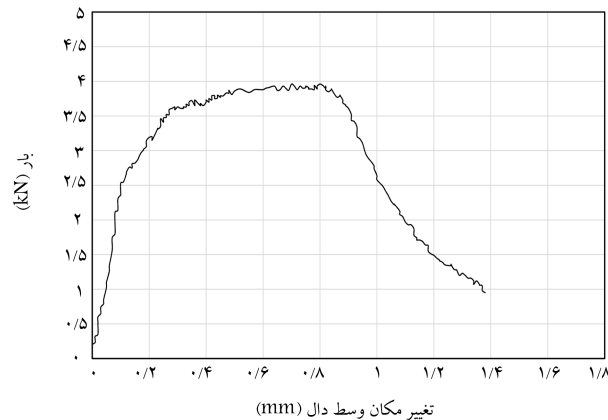
### ۳. مشخصات نمونه‌های آزمایشگاهی

در این پژوهش  $9$  عدد دال بتنی به ابعاد  $1000 \times 100 \times 100$  میلی‌متر به ضخامت‌های مختلف  $100$  و  $130$  میلی‌متر ساخته شده است. به‌منظور مدل‌سازی اتصال دال - ستون، در وسط تمام دال‌ها یک سکوی بتنی  $150$  میلی‌متر در  $150$  میلی‌متر به ارتفاع  $150$  میلی‌متر (به‌جای ستون) ساخته شد (شکل ۶). جدول‌های ۴ و ۵ مشخصات نمونه‌های آزمایشگاهی را نشان می‌دهند.

برای نامگذاری نمونه‌های آزمایشگاهی از حروف و علامت زیر استفاده شده است. حرف نامگذاری نمونه‌های آزمایشگاهی از حروف و علامت زیر استفاده شده است. حرف PC (plane concrete) نشان‌دهنده بتن معمولی و ECC نشان‌دهنده مصالح ترکیب سیمانی مهندسی شده است. حرف R نشان‌دهنده میل‌گرد مصروفی است که اگر قبلاً از PC باشد یعنی قفسه‌ی میل‌گرد درون بتن معمولی و اگر قبلاً از ECC باشد به معنای استفاده از قفسه‌ی میل‌گرد درون بتن ECC است. اعداد نوشته شده پس از حروف PC و ECC نشان‌دهنده ضخامت بتن هستند. حروف SH آب (شکل ۴) در دور عبور داده شد تا آب مغناطیسی تولید شود. در هنگام

جدول ۳. وزن مخصوص مصالح مصرفی و طرح اختلاط بتن ECC برای ۱ متر مکعب بتن.

مواد مصرفی در تهییه‌ی بتن	وزن مخصوص (kg)
سیمان	۳۵۰
سنگ‌دانه‌ی درشت (پادامی)	۵۸۰
سنگ‌دانه‌ی متوسط (نخودی)	۱۵۰
سنگ‌دانه‌ی ریز (ماشه)	۱۱۰۰
آب	۱۷۲
وزن کل بتن	۲۳۵۲



شکل ۳. نمودار بار - تغییرمکان نمونه‌ی خمثی بتن ECC ساخته شده با آب معمولی.

جدول ۳، وزن مخصوص مصالح مصرفی و نسبت‌های وزنی مواد مورد استفاده در ۱ متر مکعب از بتن ECC آورده شده است. نسبت اختلاط بتن ECC پس از آزمون و خطای طوری تعیین شد که مقاومت فشاری آن به مقاومت فشاری بتن معمولی نزدیک باشد. در هنگام ساختن بتن ECC برای دال‌ها، از بتن ساخته شده  $3 \times 100 \times 100$  میلی‌متر (بعضی در حجم ساختن بتن ECC) به ابعاد  $300 \times 150 \times 300$  میلی‌متر (بعضی در حجم ساختن بتن ECC) تهییه شد تا مقاومت فشاری و خمثی بتن ساخته شده ارزیابی شود. مقاومت فشاری بتن ECC ساخته شده به طور میانگین  $28$  مگاپاسکال و نمودار بار - تغییرمکان نمونه‌ی خمثی در شکل ۳ نشان داده شده است. با توجه به این‌که بتن ECC از دسته‌ی بتن‌های روان است، جریان روانی آن به صورت قطر پخش‌شدگی اندازه‌گیری می‌شود. برای بتن ECC تولید شده با آب معمولی، این میزان در حدود  $320$  میلی‌متر است.

۴.۱.۲. بتن ECC با آب مغناطیسی هنگامی که آب از درون میدان مغناطیسی عبور می‌کند، مولکول‌های آن آزادی منظمی به خود می‌گیرند که باعث نرم شدن آب می‌شود. همین ویژگی باعث می‌شود تا مقاومت فشاری و روانی بتن افزایش یابد. محققان بسیاری برروی تأثیر آب مغناطیسی بر روی ساختار بتن تحقیق کرده‌اند و متوجه نتایج سودمند آب مغناطیسی بر روی بتن شدند. به همین منظور در این پژوهش نیز سعی شد تا تأثیر آب مغناطیسی بر روی بتن ECC بررسی شود. برای تولید آب مغناطیسی، آب از درون دستگاه نرم‌ساز آب (شکل ۴) در دور  $10^{\circ}$  دور عبور داده شد تا آب مغناطیسی تولید شود. در هنگام



شکل ۷. قالب‌های آماده برای بتن ریزی.



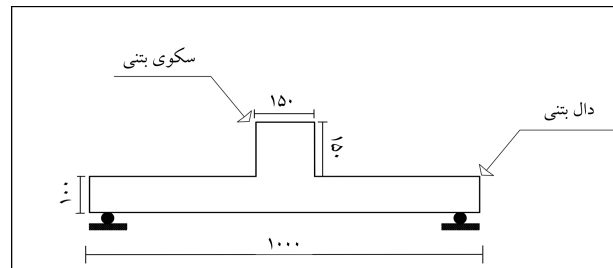
شکل ۸. دستگاه بارگذاری.

سازه‌ها صورت گرفته است. این سیستم اعمال بار در شکل ۸ نشان داده شده است. در این سیستم نمونه‌های آزمایشگاهی در درون قاب دستگاه قرار می‌گیرد و نیروی فشاری از بالا (در خلاف جهت بارگذاری دال روی سنون) و از طریق یک جک فشاری به ظرفیت  $20\text{ t}$ ، به نمونه‌ی آزمایشگاهی وارد می‌شود. مدت زمان بارگذاری برای هر نمونه بین  $15\text{ s}$  تا  $25\text{ s}$  دویمه به طول انجامیده است.

## ۵. دستگاه آزمایش، تجهیزات اندازه‌گیری

برای اندازه‌گیری میران نیروی واردہ از دستگاه به نمونه، از یک عدد نیروسنجه  $50\text{ kN}$  استفاده شد. همچنین برای اندازه‌گیری تغییرشکل‌های ناشی از بارگذاری بر روی نمونه، از یک عدد تغییرمکان‌سنجه لیزری در زیر نمونه دال استفاده شد (شکل ۹). این تغییرمکان‌سنجه طوری تنظیم شد که تغییرشکل‌های وسط دال را اندازه‌گیری و ثبت کنند. داده‌ها از این  $2$  عدد دستگاه نیروسنجه و تغییرمکان‌سنجه به دستگاه انتقال و ثبت داده وارد شد. دال بر روی یک تکیه‌گاه فولادی قرار داده شد. برای توزیع یکنواخت بار، در سرتاسر پیامون تماس بتن با تکیه‌گاه فولادی، از نوارهای لاستیکی پیامونی استفاده شد. همچنین به منظور ایجاد شرایط بار مت蟠ک، از یک صفحه‌ی فولادی انتقال بار به ابعاد  $100 \times 100 \text{ mm}^2$  سکوی بتنی دال استفاده شد.

(شکل ۹) سکوی بتنی در نمونه‌ی آزمایشگاهی جایگزین سنون بتنی سازه است که به صورت بر عکس بارگذاری می‌شود. در نمونه‌های واقعی قسمت کششی دال در بالا و در نمونه‌های آزمایشگاهی در پایین دال واقع است.



شکل ۶. سکوی بتنی.

جدول ۴. ضخامت‌های نمونه‌های آزمایشگاهی.

ضخامت ECC (mm)	ضخامت بتن معمولی (mm)	نام نمونه	گروه	مرجع
-	۱۰۰	RPC ۱۰		
۳۰	۷۰	PCV – RECC <sup>۳</sup>	گروه اول	
۳۰	۷۰	PCV – RECC <sup>۳</sup> – SH		
۱۰۰	-	RECC ۱۰		
۱۰۰	-	RECC ۱۰ – M		
۳۰	۱۰۰	RPC ۱۰ – ECC <sup>۳</sup>	گروه دوم	
۳۰	۱۰۰	RPC ۱۰ – ECC <sup>۳</sup> – SH		
۳۰	۱۰۰	RPC ۱۰ – RECC <sup>۳</sup> – SH		
۳۰	۱۰۰	RPC ۱۰ – ECC <sup>۳</sup> – SH – M		

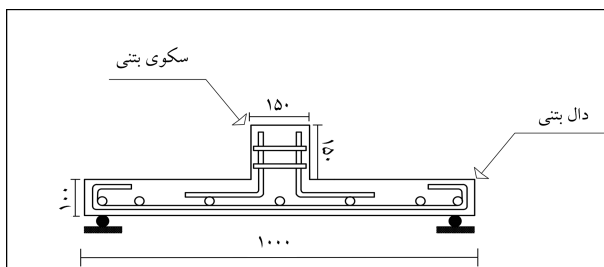
M نشان‌دهنده‌ی استفاده از آب مغناطیسی برای ساخت بتن ECC نمونه است. بتن مصرفی معمولی دارای مقاومت  $27\text{ MPa}$  مگاپاسکال در تمام نمونه‌ها و بتن ECC با آب معمولی دارای مقاومت  $28\text{ MPa}$  مگاپاسکال و با آب مغناطیسی دارای مقاومت  $30\text{ MPa}$  مگاپاسکال است. پوشش بتنی میل‌گرد برای تمام نمونه‌ها  $15\text{ mm}$  میلی‌متر در نظر گرفته شده است. به غیر از نمونه‌ی مرتع RPC ۱۰ سایر نمونه‌های آزمایشگاهی به دو گروه تقسیم می‌شوند. گروه اول شامل نمونه‌هایی است که در زمان ساخت دال از  $2$  لایه بتن معمولی و بتن ECC تشکیل می‌شوند. در این گروه، میل‌گرد خمی در پخش کششی دال (در بتن ECC) قرار داده شده است. به همین دلیل در نام‌گذاری نمونه‌ها از علامت RECC استفاده شده است. ضخامت کلی دال نمونه‌های این گروه  $100\text{ mm}$  میلی‌متر است. گروه دوم شامل نمونه‌هایی است که دال ساخته شده از بتن معمولی است و میل‌گرد خمی در آن قرار دارد. اما پس از ساخت دال و خشک شدن آن، توسط یک لایه بتن (ECC بدون میل‌گرد) تقویت شده است. ضخامت کلی دال نمونه‌های این گروه  $130\text{ mm}$  میلی‌متر است. در ساخت نمونه‌ها از قالب‌های فلزی استفاده شد. بتن ریزی به طور هم‌زمان انجام شد تا در مقاومت فشاری بتن نمونه‌ها اختلافی به وجود نیاید،  $9$  قالب فلزی به طور هم‌زمان تهیه شد (شکل ۷). همچنین برای جلوگیری از هدر رفت آب بتن، تمام درزها با چسب آکواریوم چسبکاری شد.

## ۴. نحوه بارگذاری نمونه‌ها

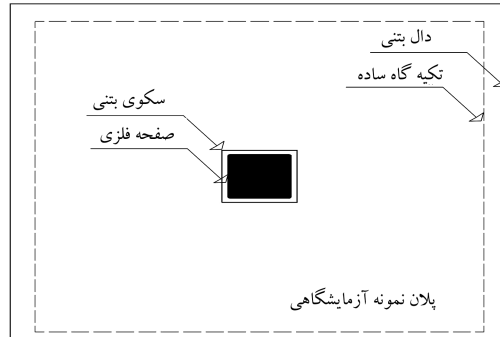
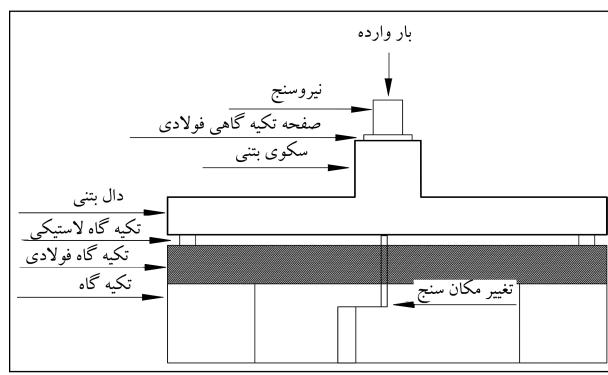
اعمال بارفشاری به دال‌ها با استفاده از جک فشاری موجود در آزمایشگاه دینامیک

جدول ۵. مشخصات نمونه‌های آزمایشگاهی.

نام نمونه	گروه	نوع آب		
		میل‌گرد در لایه بتونی	برش‌گیر	معمولی
RPC ۱۰	مرجع	معمولی	معمولی	معمولی
PCV – RECC <sup>۳</sup>	گروه اول	معمولی	بن	ECC
PCV – RECC <sup>۳</sup> – SH		معمولی	بن	ECC
RECC <sup>۱۰</sup>		معمولی	بن	ECC
RECC <sup>۱۰</sup> – M		مغناطیسی	بن	ECC
RPC ۱۰ – ECC <sup>۳</sup>	گروه دوم	معمولی	بن	معمولی
RPC ۱۰ – ECC <sup>۳</sup> – SH		معمولی	بن	دارد
RPC ۱۰ – RECC <sup>۳</sup> – SH		معمولی	و بن	دارد
RPC ۱۰ – ECC <sup>۳</sup> – SH – M		مغناطیسی	معمولی	دارد



شکل ۱۰. مشخصات هندسی نمونه‌ی RPC ۱۰.



شکل ۹. نحوه بارگذاری و پلان نمونه.

## ۶. تحلیل و بررسی نتایج آزمایشگاهی

در این پژوهش ۲ گروه نمونه دال بتونی وجود دارد. گروه اول شامل نمونه‌هایی است که از بتون ECC در ساخت دال استفاده شده است و گروه دوم شامل نمونه‌هایی است که از بتون ECC به عنوان تقویت دال استفاده شده است. در گروه اول، میل‌گرد خمیشی در بتون ECC در زمان ساخت دال قرار داده شده است. در گروه دوم، دال ساخته شده از بتون معمولی که مسلح شده، توسط یک لایه بتون ECC تقویت شده است. گروه اول شامل نمونه‌هایی است که از بتون ECC در ساخت دال استفاده شده است.

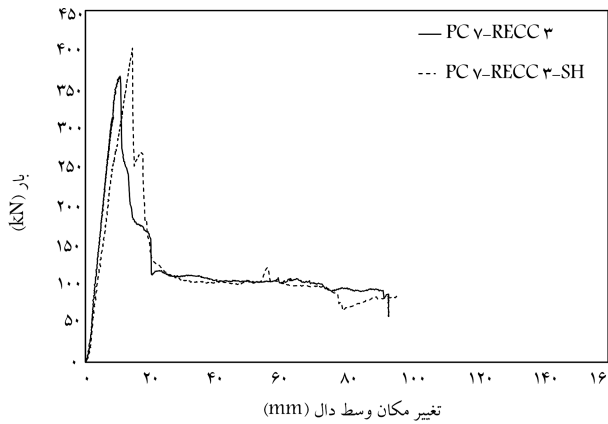
به این معنا که ضخامت مورد نظر دال از یک لایه بتون معمولی و یک لایه بتون ECC در قسمت کششی دال تشکیل شده است. در تمام نمونه‌های ساخته شده در این گروه، میل‌گرد خمیشی در بتون ECC در زمان ساخت قرار داده شده است.

### • مقایسه ۲ نمونه ۱۰ و RPC ۱۰

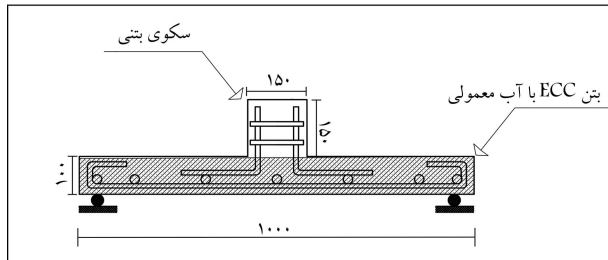
نمونه RPC ۱۰ از بتون معمولی به ضخامت ۱۰۰ میلی‌متر ساخته شده است (شکل ۱۰). نمونه ۱۰ – PCV – RECC<sup>۳</sup> به ضخامت ۷۰ میلی‌متر از بتون معمولی و ۳۰ میلی‌متر از بتون ECC ساخته شده و شبیه‌که میل‌گرد درون بتون ECC قرار داده شده است (شکل ۱۱). در شکل ۱۲ رابطه‌ی بار – تغییر مکان برای این دو نمونه مقایسه شده است. بیشینه‌ی ظرفیت باربری برای نمونه ۱۰ برابر ۲۳۰ کیلونیوتون و شده است. برای نمونه ۱۰ برابر ۳۶۴ کیلونیوتون است. بنا بر این ظرفیت نمونه برای نمونه ۱۰ برابر PCV – RECC<sup>۳</sup> برابر ۳۶۴ کیلونیوتون است. در این نمونه دارای لایه ۳۰ میلی‌متری بتون ECC نسبت به نمونه ساخته شده از بتون معمولی دارای لایه ۶۰ درصد افزایش داشته است. تغییر مکان ۲ نمونه تا لحظه‌ی شکست منځنگه برابر است. همچنین در لحظه‌ی انهدام نمونه ۱۰ از میل‌گرد جدا شده است؛ اما در نمونه ۱۰ – PCV – RECC<sup>۳</sup>، PCV – RECC<sup>۳</sup> از میل‌گرد جدا نشده است.

### • مقایسه ۲ نمونه ۱۰ و PCV – RECC<sup>۳</sup> – SH

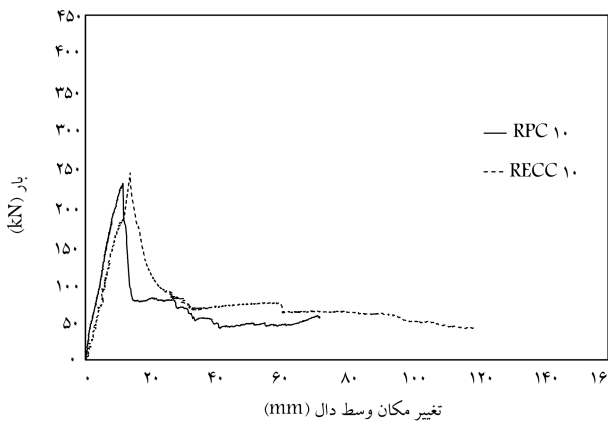
نمونه ۱۰ – PCV – RECC<sup>۳</sup> از بتون معمولی به ضخامت ۷۰ میلی‌متر و بتون ECC به ضخامت ۳۰ میلی‌متر ساخته شده است و میل‌گرد درون بتون ECC قرار دارد (شکل ۱۱). نمونه ۱۰ – PCV – RECC<sup>۳</sup> – SH مشابه نمونه ۱۰ – PCV – RECC<sup>۳</sup> است با این تفاوت که بین ۲ لایه‌ی بتونی از برش‌گیر U شکل استفاده شده



شکل ۱۴. رابطه‌ی بار - تغییرمکان نمونه‌های PCV - RECC<sup>۳</sup> و PCV - RECC<sup>۳</sup> - SH.



شکل ۱۵. مشخصات هندسی نمونه‌ی RECC<sup>۱۰</sup>.



شکل ۱۶. رابطه‌ی بار - تغییرمکان نمونه‌های RPC<sup>۱۰</sup> و RECC<sup>۱۰</sup>.

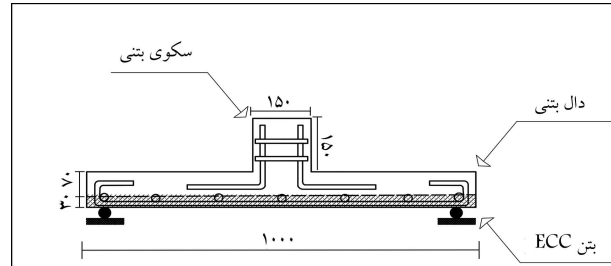
#### • مقایسه‌ی ۲ نمونه M و RECC<sup>۱۰</sup> - RPC<sup>۱۰</sup>

نمونه‌ی M - RECC<sup>۱۰</sup> به ضخامت ۱۰۰ میلی‌متر مشابه نمونه‌ی RECC<sup>۱۰</sup> است با این تفاوت که بتن آن با آب مغناطیسی، ساخته شده است (شکل ۱۷). در شکل ۱۸ رابطه‌ی بار - تغییرمکان این دو نمونه با یکدیگر مقایسه شده است. برای نمونه‌ی RECC<sup>۱۰</sup> بیشینه‌ی ظرفیت برابری ۲۴۴ کیلونیوتن و برای نمونه‌ی RECC<sup>۱۰</sup> - M برابر ۲۷۱ کیلونیوتن است. بنابراین، استفاده از آب مغناطیسی باعث افزایش ۱۰ درصدی ظرفیت برابری شده است.

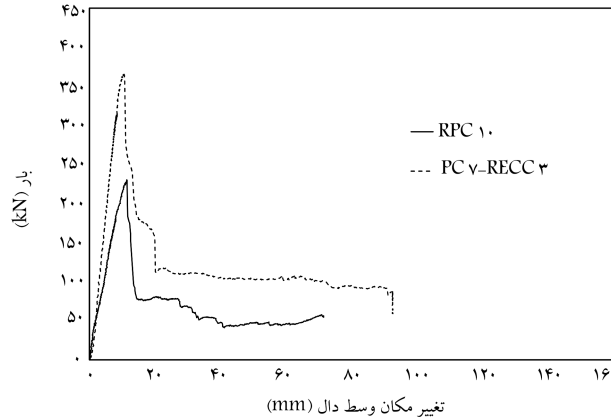
خلاصه‌ی نتایج به دست آمده از آزمایش نمونه‌های آزمایشگاهی گروه اول در جدول ۶ آورده شده است.

#### گروه دوم

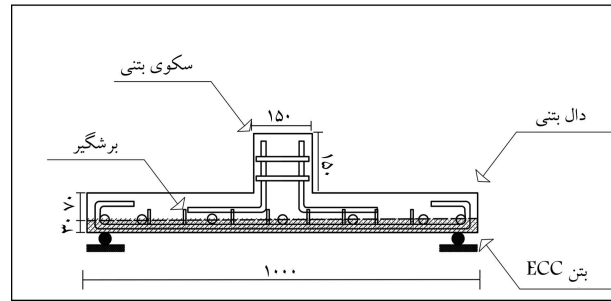
گروه دوم شامل نمونه‌هایی است که دال با ضخامت ۱۰۰ میلی‌متر از بتن معمولی



شکل ۱۱. مشخصات هندسی نمونه‌ی PCV - RECC<sup>۳</sup>.



شکل ۱۲. رابطه‌ی بار - تغییرمکان نمونه‌های RPC<sup>۱۰</sup> و PCV - RECC<sup>۳</sup>.

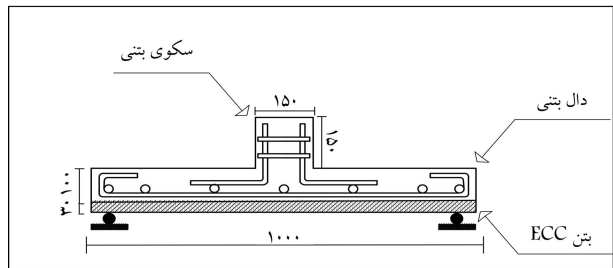


شکل ۱۳. مشخصات هندسی نمونه‌ی PCV - RECC<sup>۳</sup> - SH.

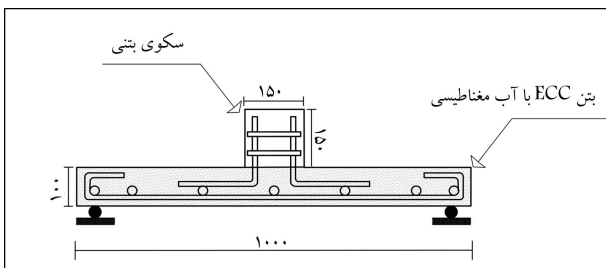
است (شکل ۱۳). نمونه‌های PCV - RECC<sup>۳</sup> - SH و PCV - RECC<sup>۳</sup> در شکل ۱۴ مقایسه شده‌اند. نمونه‌ی PCV - RECC<sup>۳</sup> دارای بیشینه‌ی ظرفیت برابری ۳۵۷ کیلونیوتن و نمونه‌ی PCV - RECC<sup>۳</sup> - SH دارای بیشینه‌ی برابری ۴۰۲ کیلونیوتن است. مشاهده می‌شود که به علت استفاده از برش‌گیر U شکل ظرفیت برابری نمونه‌ی PCV - RECC<sup>۳</sup> - SH به مقدار ۱۳ درصد نسبت به نمونه‌ی PCV - RECC<sup>۳</sup> افزایش یافته است.

#### • مقایسه‌ی ۲ نمونه‌ی RPC<sup>۱۰</sup> و RECC<sup>۱۰</sup>

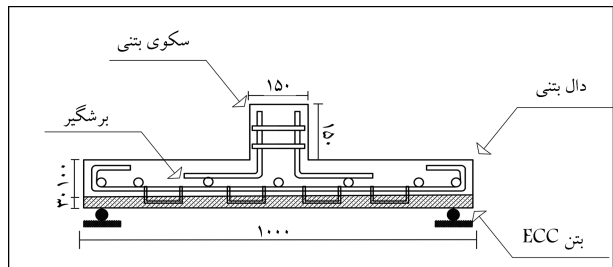
نمونه‌ی RPC<sup>۱۰</sup> از بتن معمولی به ضخامت ۱۰۰ میلی‌متر ساخته شده است (شکل ۱۵). نمونه‌ی RECC<sup>۱۰</sup> از ۱۰۰ میلی‌متر بتن ECC ساخته شده است (شکل ۱۶). در شکل ۱۶ رفتار دو نمونه مقایسه شده است. بیشینه‌ی ظرفیت RECC<sup>۱۰</sup> برابر نمونه‌ی RPC<sup>۱۰</sup> برابر ۲۳۰ کیلونیوتن و برای نمونه‌ی RECC<sup>۱۰</sup> برابر ۲۴۴ کیلونیوتن است. همچنین در نمونه‌ی RPC<sup>۱۰</sup> جدا شدن بتن معمولی از میلگرد اتفاق می‌افتد؛ اما در نمونه‌ی RECC<sup>۱۰</sup> بتن از میلگرد جدا نشده است.



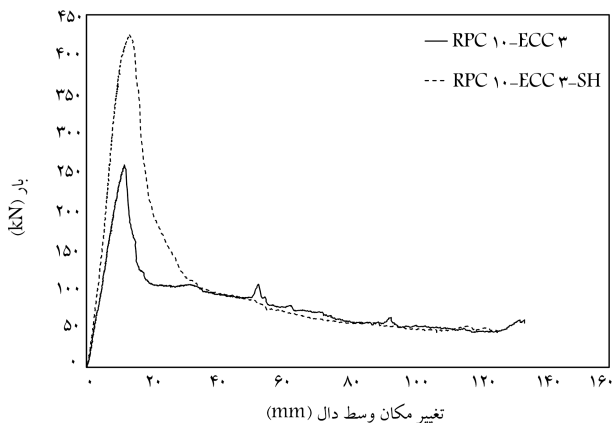
شکل ۱۹. مشخصات هندسی نمونه‌ی RPC ۱۰ - ECC ۳



شکل ۱۷. مشخصات هندسی نمونه‌ی RECC ۱۰ - M



شکل ۲۰. مشخصات هندسی نمونه‌ی RPC ۱۰ - ECC ۳ - SH



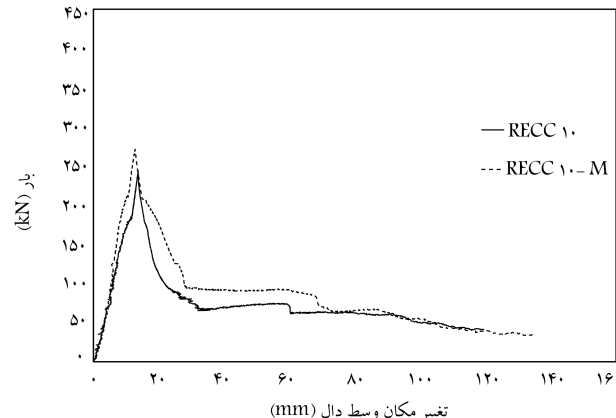
شکل ۲۱. رابطه‌ی بار - تغییرمکان نمونه‌های RPC ۱۰ - ECC ۳ و RPC ۱۰ - ECC ۳ - SH

#### • مقایسه‌ی ۲ نمونه‌ی RPC ۱۰ - RPC ۱۰ - ECC ۳ - SH و RECC ۳ - SH

نمونه‌ی RPC ۱۰ - RECC ۳ - SH مشابه نمونه‌ی RPC ۱۰ - ECC ۳ - SH است با این تفاوت که در هر دو لایه‌ی بتن، میل‌گرد قرار داده شده است (شکل ۲۲). در شکل ۲۳ دو نمونه با یکدیگر مقایسه شده‌اند. حداکثر ظرفیت باربری برای نمونه‌ی RPC ۱۰ - ECC ۳ - SH برابر RPC ۱۰ - ECC ۳ برابر ۴۲۱ کیلونیوتون و برای نمونه‌ی RPC ۱۰ - RECC ۳ - SH برابر ۴۲۸ کیلونیوتون است.

#### • مقایسه‌ی ۲ نمونه‌ی RPC ۱۰ - ECC ۳ - SH و RECC ۳ - SH

نمونه‌ی RPC ۱۰ - ECC ۳ - SH مشابه نمونه‌ی RPC ۱۰ - ECC ۳ است با این تفاوت که بتن ECC با آب مغناطیسی ساخته شده است (شکل ۲۴). در شکل ۲۵ دو نمونه مقایسه شده‌اند. برای نمونه‌ی RPC ۱۰ - ECC ۳ - SH - M برای نمونه‌ی RPC ۱۰ - ECC ۳ - SH برابر ۴۲۴ کیلونیوتون و برای نمونه‌ی RPC ۱۰ - ECC ۳ - SH برابر ۴۲۱ کیلونیوتون است.



شکل ۱۸. رابطه‌ی بار - تغییرمکان نمونه‌های RECC ۱۰ - M و RECC ۱۰

جدول ۶. خلاصه‌ی نتایج به دست آمده از تحلیل و بررسی نمودارهای دال‌های گروه اول.

نمونه	شکست (kN)	باربری در لحظه شکست (mm)	بیشینه‌ی ظرفیت در لحظه شکست	بیشینه‌ی تغییرمکان
RPC ۱۰	۲۳۰	۱۱	۲۳۰	RPC ۱۰
PCV - RECC ۳	۳۶۴	۱۱	۳۶۴	PCV - RECC ۳
PCV - RECC ۳ - SH	۴۰۲	۱۴	۴۰۲	PCV - RECC ۳ - SH
RECC ۱۰	۲۴۴	۱۴	۲۴۴	RECC ۱۰
RECC ۱۰ - M	۲۷۱	۱۳	۲۷۱	RECC ۱۰ - M

ساخته شده و پس از خشک شدن آن با ۳۰ میلی‌متر بتن ECC در قسمت کششی تقویت شده است.

#### • مقایسه‌ی ۲ نمونه‌ی RPC ۱۰ - ECC ۳ - SH و RECC ۳ - SH

نمونه‌ی RPC ۱۰ - ECC ۳ از ۱۰۰ میلی‌متر بتن معمولی و ۳۰ میلی‌متر بتن ECC ساخته شده است (شکل ۱۹). نمونه‌ی RPC ۱۰ - ECC ۳ - SH مشابه RPC ۱۰ - ECC ۳ است با این تفاوت که از برشگیر U شکل بین ۲ لایه‌ی بتنی استفاده است (شکل ۲۰). شکل ۲۱ مقایسه‌ی رابطه‌ی بار - تغییرمکان دو نمونه را نشان می‌دهد. بیشینه‌ی ظرفیت باربری برای نمونه‌ی RPC ۱۰ - ECC ۳ - SH برابر ۴۲۱ کیلونیوتون و برای نمونه‌ی RPC ۱۰ - ECC ۳ - SH - M برابر ۴۲۸ کیلونیوتون است. استفاده از برشگیر بین ۲ لایه‌ی بتنی باعث افزایش ۶۰ درصدی ظرفیت باربری نمونه‌ی RPC ۱۰ - ECC ۳ - SH شده است.

جدول ۷. خلاصه‌ی نتایج به دست آمده از تحلیل و بررسی نمودارهای دالهای گروه دوم.

بیشینه‌ی ظرفیت بیشینه‌ی تغییرمکان		
نمونه	در لحظه شکست	بار بری در لحظه
(mm)	(kN)	شکست (mm)
RPC ۱۰ - ECC ۳	۲۵۸	۱۲
RPC ۱۰ - ECC ۳ - SH	۴۲۱	۱۴
RPC ۱۰ - RECC ۳ - SH	۴۲۸	۱۰
RPC ۱۰ - ECC ۳ - SH - M	۴۲۲	۱۷

خلاصه‌ی نتایج به دست آمده از آزمایش نمونه‌های آزمایشگاهی گروه دوم در جدول ۷ آورده شده است.

## ۷. مقایسه‌ی نتایج آزمایش‌ها و نتایج حاصل از روابط آین نامه‌ها

بر اساس ضوابط آین نامه‌ی ۱۴ - ACI ۳۱۸ [۴] مقاومت برش منگنه‌یی نهایی دالهای تخت برابر کوچک‌ترین مقدار حاصل از روابط زیر است.

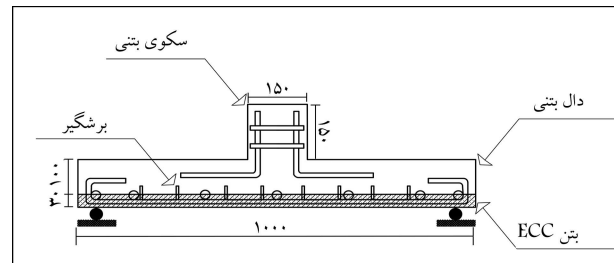
$$V_u = \frac{\alpha_s}{\beta_c} 83(2 + \frac{4}{\beta_c}) \sqrt{f'_c b_s d} \quad (1)$$

$$V_u = \frac{\alpha_s}{\beta_c} 83(2 + \frac{\alpha_s d}{b_s}) \sqrt{f'_c b_s d} \quad (2)$$

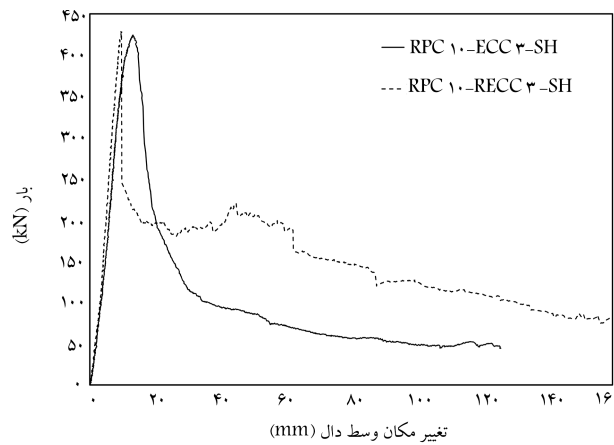
$$V_u = \frac{\alpha_s}{\beta_c} 834 \sqrt{f'_c b_s d} \quad (3)$$

در این رابطه‌ها  $f'_c$  مقاومت فشاری نمونه‌یی بتن بر حسب مگاپاسکال است که در این آزمایش ۲۷ مگاپاسکال است.  $d$  ارتفاع مؤثر دال است. در نمونه‌های گروه دوم اگر چه ضخامت دال ۱۳۰ میلی‌متر است، به علت وجود میل‌گرد در بتن معمولی عملاً مقدار  $d$  برابر ۹۰ میلی‌متر مشابه دالهای گروه اول است. بنابراین ظرفیت محاسباتی آین نامه‌یی تغییر نمی‌کند.  $b_s$  برابر محیط مستطیلی است که اضلاع آن در فاصله‌ی  $5d$  از وجه ستون قرار دارد. مقدار این پارامتر برابر با دال با ستون مربعی برابر  $c + d$  است.  $\beta_c$  برابر نسبت طول به عرض ستون و  $\alpha_s$  برای ستون‌های داخلی، لبه و ستون‌های کوشه به ترتیب برابر  $40$ ،  $30$  و  $20$  است. در این بخش نتایج حاصل از آزمایش‌ها با مقادیر محاسباتی ظرفیت منگنه‌یی آین نامه ۱۴ - ACI ۳۱۸ مقایسه می‌شود.

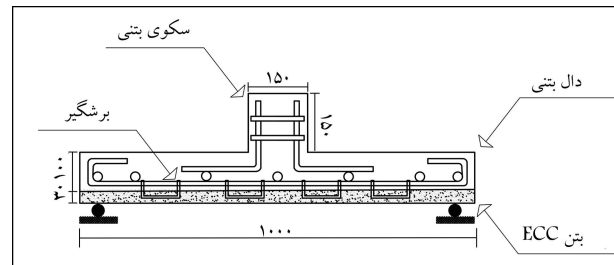
در جدول ۸ مقادیر نسبت ظرفیت برشی آزمایش‌ها به ظرفیت محاسباتی آین نامه ۱۴ - ACI ۳۱۸ ارائه شده است. مقاومت فشاری بتن‌های معمولی و ECC تفاوت کمی دارد. در نمونه‌هایی که از دوازده بتن معمولی و ECC ساخته شده است، برای محاسبه‌یی مقاومت برش منگنه‌یی آین نامه‌یی، از بتن با مقاومت کمتر استفاده شده است. نسبت ظرفیت برشی آزمایشگاهی به ظرفیت برشی آین نامه‌یی برای نمونه‌ی RPC ۱۰ از بتن معمولی  $1/54$  و برای سایر نمونه‌ها که شامل دو بخش بتن معمولی و بتن ECC است، بیشتر از مقدار  $1/54$  است. بیشترین مقدار مربوط به نمونه‌ی RPC ۱۰ - RECC ۳ - SH است که این مقدار  $2/87$  است. بنابراین، استفاده از تقویت دال با یک لایه از بتن ECC یا ساخت دال از دو بخش بتن معمولی و بتن ECC می‌تواند ظرفیت برش منگنه‌یی دال تخت را به مقدار زیادی افزایش دهد.



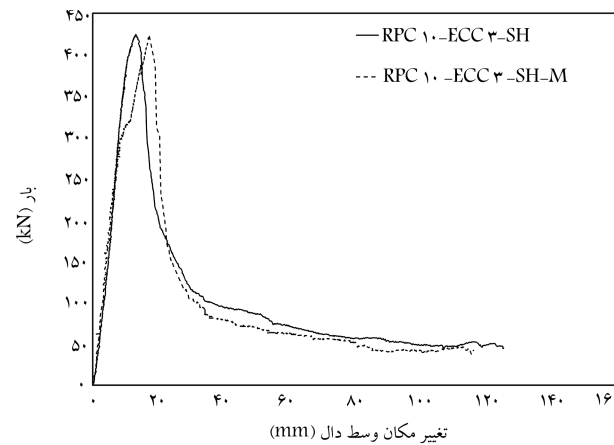
شکل ۲۲. مشخصات هندسی نمونه‌ی RPC ۱۰ - RECC ۳ - SH



شکل ۲۳. رابطه‌ی بار - تغییرمکان نمونه‌های SH - RPC ۱۰ - RECC ۳ - SH



شکل ۲۴. مشخصات هندسی نمونه‌ی M - RPC ۱۰ - ECC ۳ - SH - M



شکل ۲۵. رابطه‌ی بار - تغییرمکان نمونه‌های SH - RPC ۱۰ - ECC ۳ - SH - M

جدول ۸. مقایسه‌ی نتایج به دست آمده از نمونه‌های آزمایشگاهی با مقادیر محاسباتی آیین‌نامه‌ی ۱۴ – ACI۳۱۸.

$\frac{V_{test}}{V_{ACI}}$	V <sub>ACI</sub> (kN)	V <sub>test</sub> (kN)	نمونه	گروه
۱,۰۴	۱۴۹	۲۳۰	RPC ۱۰	مرجع
۲,۴۴	۱۴۹	۳۶۴	PC ۷ – RECC ۳	گروه اول
۲,۷۰	۱۴۹	۴۰۲	PC ۷ – RECC ۳ – SH	
۱,۶۴	۱۴۹	۲۴۴	RECC ۱۰	
۱,۸۲	۱۴۹	۲۷۱	RECC ۱۰ – M	
۱,۷۳	۱۴۹	۲۵۸	RPC ۱۰ – ECC ۳	گروه دوم
۲,۸۲	۱۴۹	۴۲۱	RPC ۱۰ – ECC ۳ – SH	
۲,۸۷	۱۴۹	۴۲۸	RPC ۱۰ – RECC ۳ – SH	
۲,۸۴	۱۴۹	۴۲۴	RPC ۱۰ – ECC ۳ – SH – M	

چشم‌گیری در ظرفیت برش منگنه‌یی نداشته است. زیرا بخشی از پیوستگی دو نوع بتن توسط میلگرد های سکویی بتونی تأمین می‌شود. اما در نمونه‌یی که بتن ECC در تقویت دال استفاده شده است، میلگرد سکویی بتونی و میلگرد خمیشی فقط درون لایه‌ی بتن معمولی قرار دارد و پیوستگی بین لایه‌ی بتن معمولی و لایه‌ی بتن ECC ضعیف‌تر است. به همین علت استفاده از برش‌گیر تأثیر زیادی در ظرفیت برش منگنه‌یی داشته است؛

۳. استفاده از آب مغناطیسی در ساخت بتن ECC باعث افزایش ۴۰ درصدی جریان روانی بتن ECC شد و ظرفیت برش منگنه‌یی را ۱۱ درصد اضافه کرد؛

۴. مقایسه‌ی نتایج آزمایشگاهی با مقادیر محاسباتی آیین‌نامه‌ی بتن ACI نشان داد که برای دال ساخته شده از بتن معمولی، نسبت  $V_{test}/V_{ACI}$  برابر ۱/۵۴ است. این مسئله نشان می‌دهد که آیین‌نامه با ضرایب اطمینان مناسبی ظرفیت برش منگنه‌یی را محاسبه می‌کند. برای نمونه‌هایی که قسمتی از بتن معمولی توسط بتن ECC جایگزین شده است، نسبت  $V_{test}/V_{ACI}$  به مقدار قابل توجهی بیشتر از ۱/۵۴ است. بنابراین با جایگزین کردن قسمتی از بتن معمولی توسط بتن ECC چه در ساخت دال و چه پس از ساخت دال به عنوان تقویت، ضرایب اطمینان آیین‌نامه‌یی به مقدار چشم‌گیری افزایش می‌یابد؛

۵. استفاده از بتن ECC در قسمت بالای دال برای افزایش ظرفیت منگنه‌یی می‌تواند جایگزین مناسبی به جای استفاده از پهنه در قسمت پایین دال باشد. در این حالت زائدی پهنه در دال قابل حذف است. البته در صورتی که از یک لایه بتن ECC برای تقویت دال استفاده شود، لازم است برای اتصال لایه‌ی ECC به بتن دال از برش‌گیرهای مناسبی استفاده شود.

## ۸. نتیجه‌گیری

در این مقاله استفاده از بتن ECC در ساخت و تقویت برش منگنه‌یی دال‌های تخت طالعه شده است. پارامترهای بررسی شده شامل ضخامت بتن ECC در دال بتونی، استفاده از برش‌گیر بین ۲ لایه‌ی بتن معمولی و بتن ECC و استفاده از آب مغناطیسی است.

بر اساس نتایج آزمایشگاهی پژوهش نتایج زیر حاصل شده است:

۱. استفاده از یک لایه ۳۰ میلی‌متری بتن ECC در قسمت کششی در ساخت دال باعث افزایش ۶۰ درصدی ظرفیت باربری و استفاده از همین لایه به عنوان تقویت پس از ساخت دال باعث افزایش ۱۲ درصدی ظرفیت برش منگنه‌یی شد؛

۲. استفاده از برش‌گیر بین ۲ لایه‌ی بتن معمولی و بتن ECC، در حالتی که از بتن ECC در ساخت دال استفاده شود، باعث افزایش ۱۰ درصدی ظرفیت باربری نسبت به نمونه‌ی بدون برش‌گیر می‌شود. ظرفیت این نمونه نسبت به نمونه‌ی ساخته شده از بتن معمولی و بدون ECC (نمونه‌ی مرجع (RPC ۱۰) ۷۵ درصد افزایش داشته است. برای حالتی که از بتن ECC پس از ساخت به عنوان تقویت استفاده شود، استفاده از برش‌گیر باعث افزایش ۶۳ درصدی ظرفیت برش منگنه‌یی نسبت به نمونه‌ی بدون برش‌گیر شده است. در نمونه‌یی که از بتن ECC در ساخت دال استفاده شده است، میلگرد سکویی بتونی به میلگرد خمیشی درون لایه‌ی بتن ECC متصل شده که باعث پیوستگی بین ۲ لایه بتن معمولی و بتن ECC شده است. به همین دلیل استفاده از برش‌گیر تأثیر

## پابلوشت

1. engineered cementitious composites (ECC)

## منابع (References)

- Li, V.C., *Engineered Cementitious Composite (ECC) Material, Structural, and Durability Performance*, Concrete Construction Engineering Handbook, Second Edition. pp. 1001-1048 (2008).

2. Ge, W.J., Ashour, A.F., Ji, X. and et al. "Flexural behavior of ECC-concrete composite beams reinforced with steel bars", *Construction and Building Materials*, **159**, pp. 157-188 (2018).
3. Afefy, H.D. and Mahmoud, M.H. "Structural performance of RC slabs provided by pre-cast ECC strips in tension cover zone", *Construction and Building Materials*, **65**, pp. 103-113 (2014).
4. Tian, J., Wu, X., Zheng, Y. and et al. "Investigation of interface shear properties and mechanical model between ECC and concrete", *Construction and Building Materials*, **223**, pp. 12-27 (2019).
5. Gao, S., Zhao, X., Qiao, J. and et al. "Study on the bonding properties of engineered cementitious composites (ECC) and existing concrete exposed to high temperature", *Construction and Building Materials*, **196**, pp. 330-344 (2019).
6. Hossain, K.M.A., Hasib, S. and Manzur, T. "Shear behavior of novel hybrid composite beams made of self-consolidating concrete and engineered cementitious composites", *Engineering Structures*, **202**, p. 109856 (2019).
7. Choi, H.K., Bae, B. and Choi, C.S. "Lateral resistance of unreinforced masonry walls strengthened with engineered cementitious composite", *International Journal of Civil Engineering and Technology (IJCIET)*, **14**, pp. 411-424 (2016).
8. Faris, A.S., Al-Mahaidi, R. and Jadooe, A. "Implementation of magnetized water to improve the properties of concrete", *International Journal of Civil Engineering and Technology (IJCIET)*, **5**, pp. 43-57 (2014).
9. ACI Committee 318. "Building code requirements for structural concrete (ACI 318-14) and commentary (318R-14)", American Concrete Institute, Farmington Hills, Mich., 433 (2014).